

θ	R meter	V = 50 km/j		V = 60 km/j		V = 70 km/j		V = 80 km/j		V = 90 km/j		V = 100 km/j		V = 110 km/j	
		e	ls	e	ls	e	ls	e	ls	e	ls	e	ls	e	ls
0°	5.730	L1	0	L1	0	L1	0	L1	0	L1	0	LR	60	LP	60
0°	2.864	L1	0	L1	0	LP	40	LP	50	LP	50	LP	60	LP	60
0°	1.910	L1	0	LP	40	LP	40	0,018	50	0,020	50	0,024	60	0,025	60
1°	1.432	L1	0	LP	40	0,020	40	0,022	50	0,026	50	0,030	60	0,033	60
1°	1.150	LP	30	LP	40	0,022	40	0,028	50	0,033	50	0,038	60	0,042	60
1°	956	LP	30	LP	40	0,028	40	0,034	50	0,039	50	0,045	60	0,050	70
1°	840	LP	30	0,025	40	0,030	40	0,039	50	0,045	50	0,052	60	0,058	70
2°	717	0,020	30	0,028	40	0,034	40	0,045	50	0,055	60	0,060	70	0,066	80
2°	574	0,023	30	0,034	40	0,045	40	0,054	50	0,064	60	0,074	80	0,083	90
3°	478	0,029	30	0,040	40	0,054	40	0,062	50	0,074	60	0,087	90	0,096	100
3°	410	0,034	30	0,047	40	0,062	40	0,074	50	0,087	60	0,099	100	0,100	110
4°	358	0,037	30	0,052	40	0,068	40	0,080	50	0,092	60	0,100	100	D _{max.}	
4°	310	0,042	30	0,057	40	0,074	50	0,087	60	0,097	70	0,100	100	D _{max.}	
5°	287	0,045	30	0,062	40	0,079	50	0,091	60	0,098	70	0,100	100	D _{max.}	
5°	233	0,053	40	0,071	50	0,088	50	0,092	60	0,092	80	0,100	100	D _{max.}	
5°	205	0,050	40	0,079	60	0,094	60	0,094	80	0,092	80	0,100	100	D _{max.}	
6°	180	0,057	40	0,086	60	0,097	60	0,097	80	0,092	80	0,100	100	D _{max.}	
6°	160	0,072	50	0,091	60	0,095	70	0,100	80	0,092	80	0,100	100	D _{max.}	
7°	143	0,077	50	0,097	70	0,099	70	0,100	80	0,092	80	0,100	100	D _{max.}	
7°	130	0,082	50	0,099	70	0,099	70	0,100	80	0,092	80	0,100	100	D _{max.}	
8°	120	0,086	60	0,099	70	0,099	70	0,100	80	0,092	80	0,100	100	D _{max.}	
8°	110	0,090	60	0,100	70	0,100	70	0,100	80	0,092	80	0,100	100	D _{max.}	
9°	103	0,093	60	D _{max.}		D _{max.}		D _{max.}		D _{max.}		D _{max.}		D _{max.}	
9°	95	0,095	60	D _{max.}		D _{max.}		D _{max.}		D _{max.}		D _{max.}		D _{max.}	
10°	90	0,097	60	D _{max.}		D _{max.}		D _{max.}		D _{max.}		D _{max.}		D _{max.}	
10°	84	0,099	60	D _{max.}		D _{max.}		D _{max.}		D _{max.}		D _{max.}		D _{max.}	
11°	84	0,099	60	D _{max.}		D _{max.}		D _{max.}		D _{max.}		D _{max.}		D _{max.}	
11°	80	0,100	60	D _{max.}		D _{max.}		D _{max.}		D _{max.}		D _{max.}		D _{max.}	
12°	75	D _{max.}		D _{max.}		D _{max.}		D _{max.}		D _{max.}		D _{max.}		D _{max.}	
12°	70	D _{max.}		D _{max.}		D _{max.}		D _{max.}		D _{max.}		D _{max.}		D _{max.}	
13°	60	D _{max.}		D _{max.}		D _{max.}		D _{max.}		D _{max.}		D _{max.}		D _{max.}	
13°	60	D _{max.}		D _{max.}		D _{max.}		D _{max.}		D _{max.}		D _{max.}		D _{max.}	
14°	50	D _{max.}		D _{max.}		D _{max.}		D _{max.}		D _{max.}		D _{max.}		D _{max.}	
14°	50	D _{max.}		D _{max.}		D _{max.}		D _{max.}		D _{max.}		D _{max.}		D _{max.}	
15°	40	D _{max.}		D _{max.}		D _{max.}		D _{max.}		D _{max.}		D _{max.}		D _{max.}	
15°	40	D _{max.}		D _{max.}		D _{max.}		D _{max.}		D _{max.}		D _{max.}		D _{max.}	
16°	30	D _{max.}		D _{max.}		D _{max.}		D _{max.}		D _{max.}		D _{max.}		D _{max.}	
16°	30	D _{max.}		D _{max.}		D _{max.}		D _{max.}		D _{max.}		D _{max.}		D _{max.}	
17°	20	D _{max.}		D _{max.}		D _{max.}		D _{max.}		D _{max.}		D _{max.}		D _{max.}	
17°	20	D _{max.}		D _{max.}		D _{max.}		D _{max.}		D _{max.}		D _{max.}		D _{max.}	
18°	10	D _{max.}		D _{max.}		D _{max.}		D _{max.}		D _{max.}		D _{max.}		D _{max.}	
18°	10	D _{max.}		D _{max.}		D _{max.}		D _{max.}		D _{max.}		D _{max.}		D _{max.}	
19°	0	D _{max.}		D _{max.}		D _{max.}		D _{max.}		D _{max.}		D _{max.}		D _{max.}	
19°	0	D _{max.}		D _{max.}		D _{max.}		D _{max.}		D _{max.}		D _{max.}		D _{max.}	

KETERANGAN:

L1 - lereng jalan normal

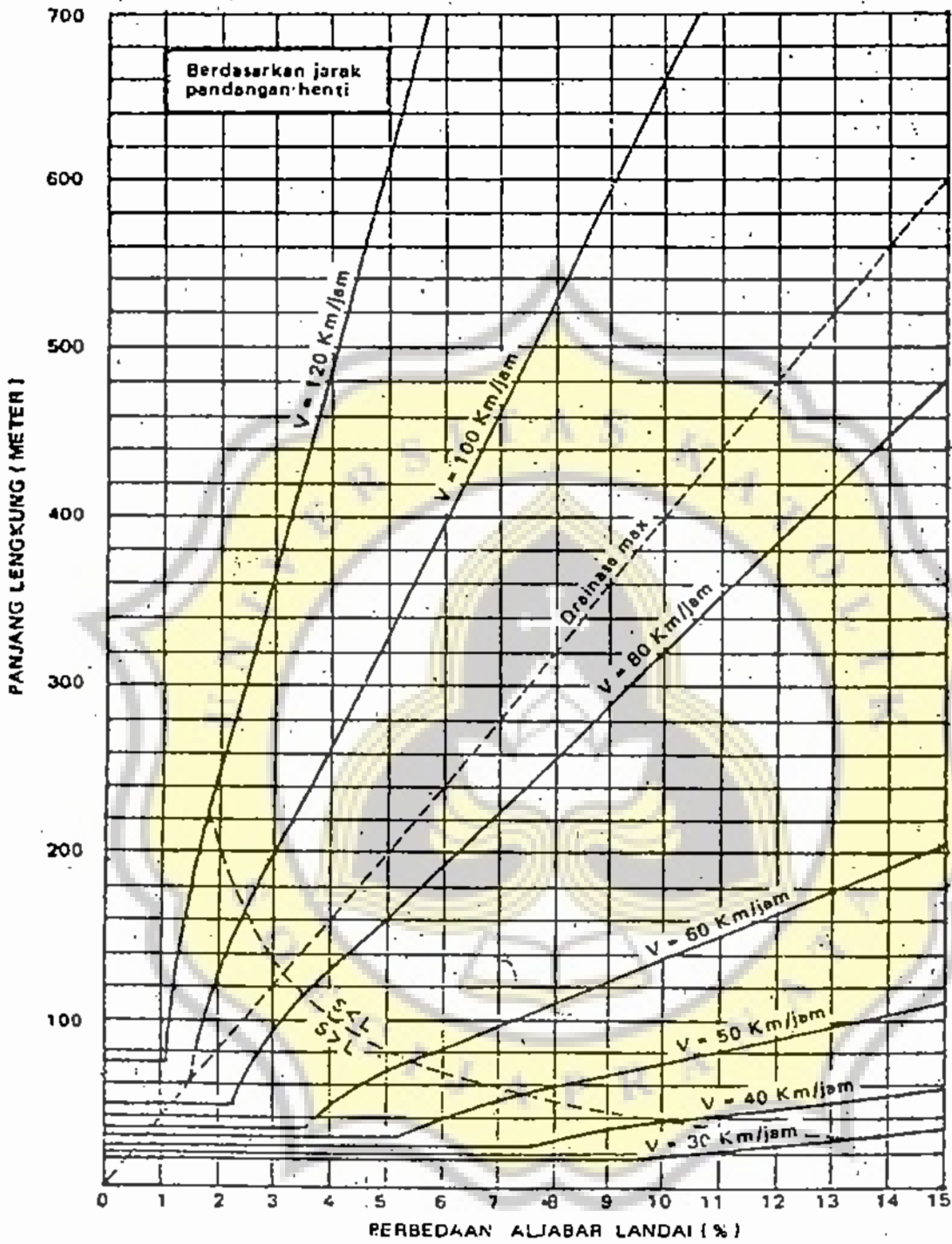
L2 - lereng luar diputar sehingga pangerasan

mendapat kemiringan melintang sebesar

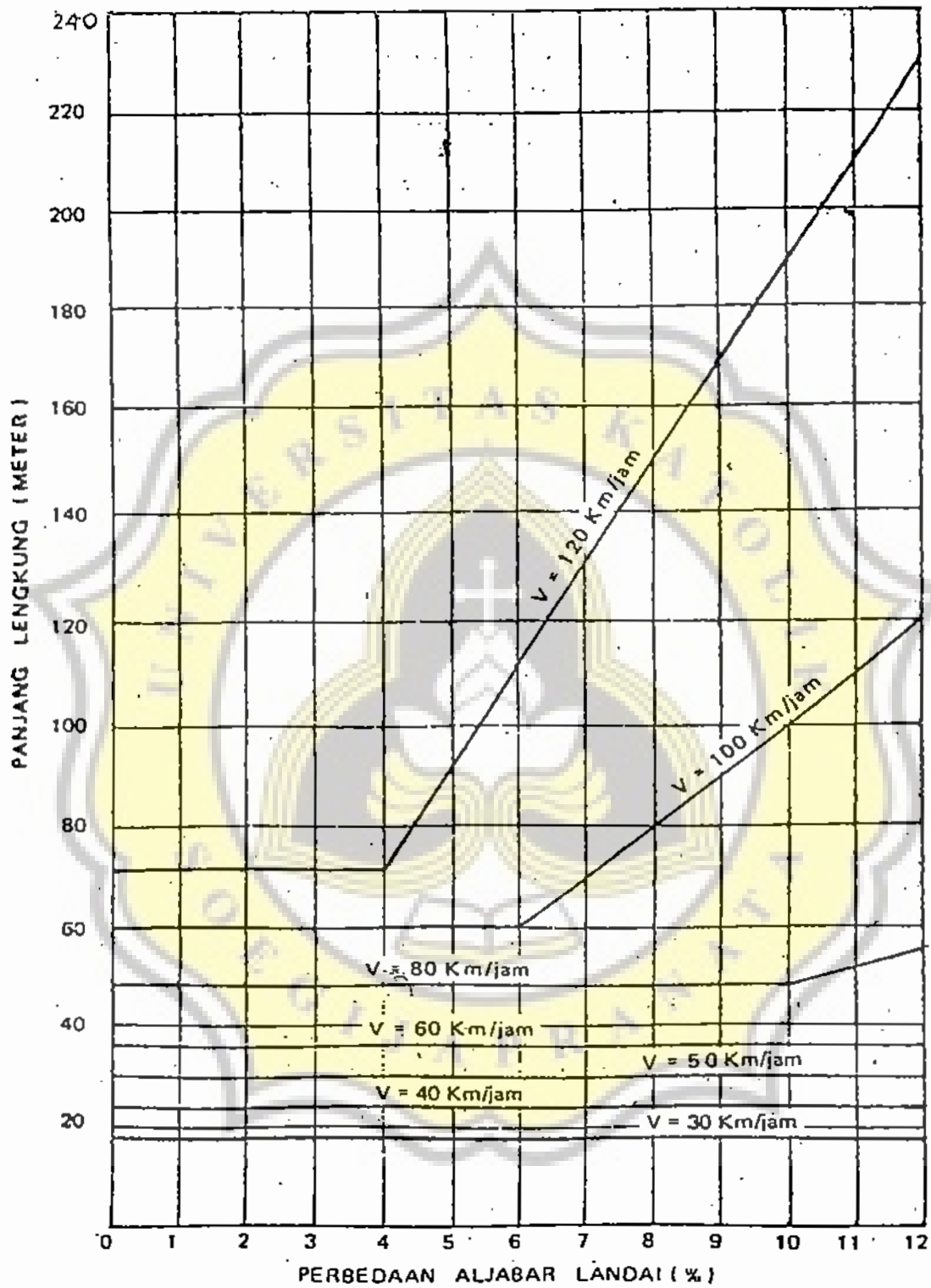
lereng jalan normal.

spiral diatas garis tebal adalah boleh ada

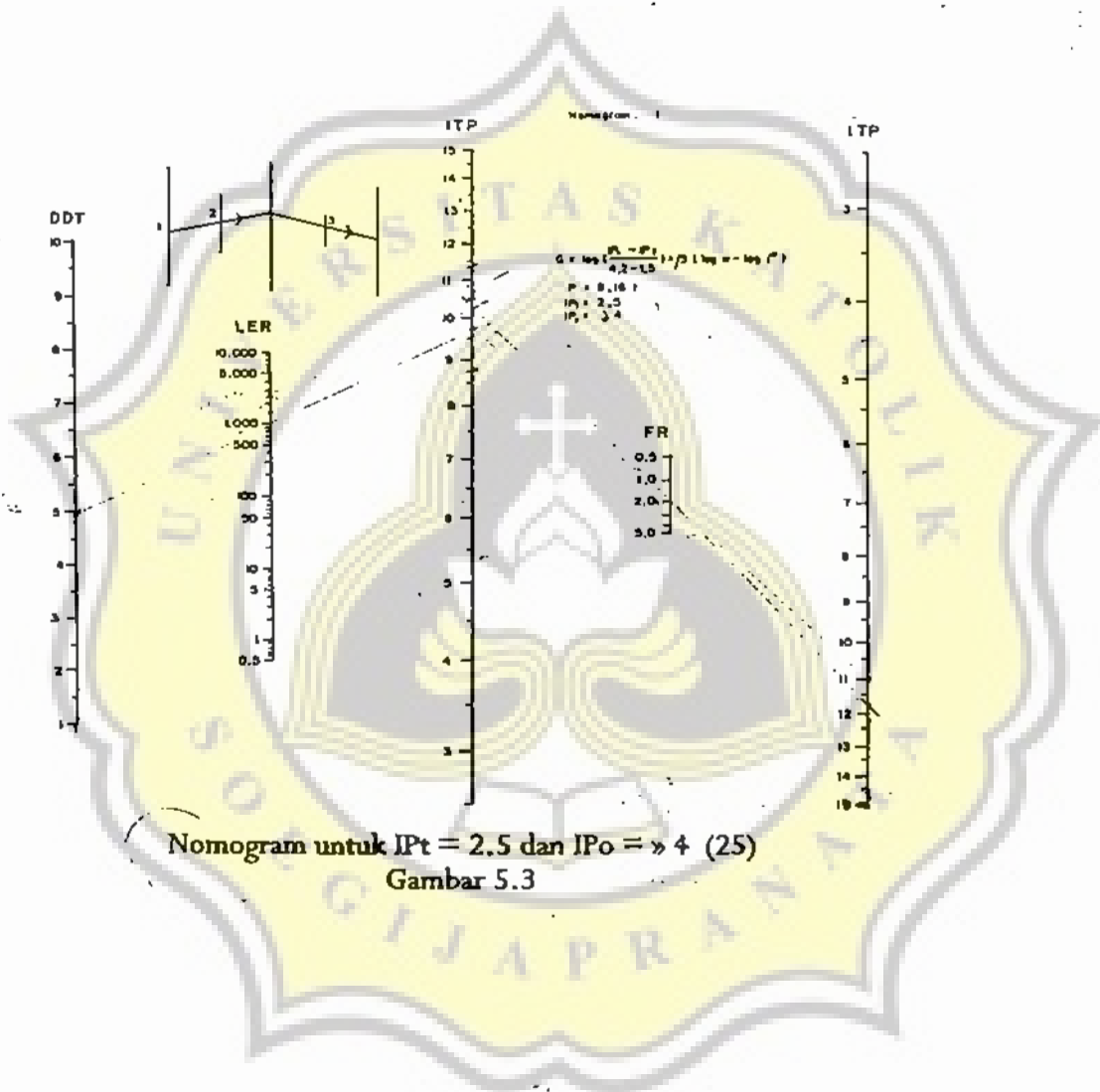
tapi tidak diluaskan.



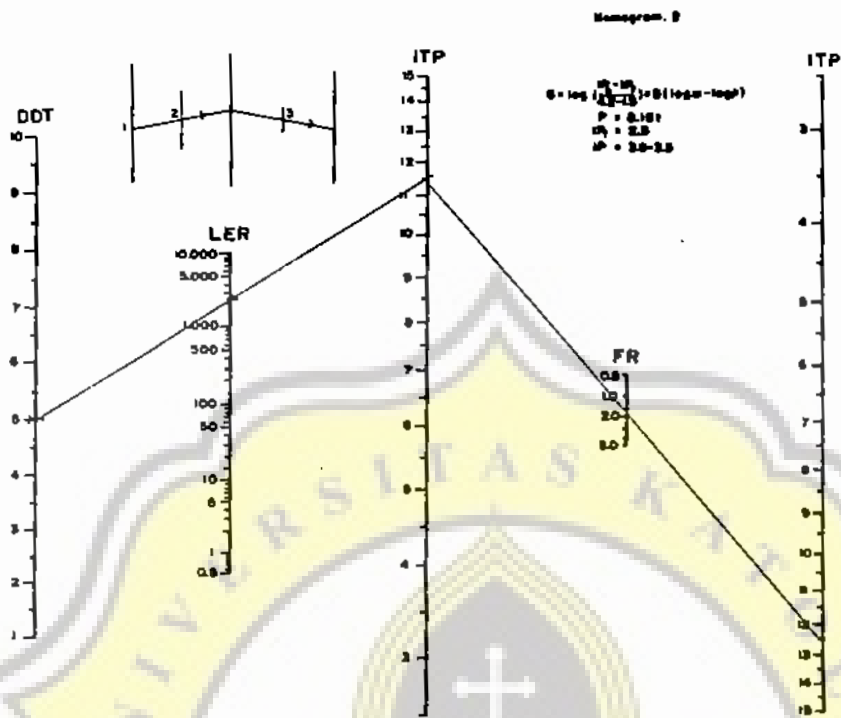
GRAFIK III. PANJANG LENGKUNG VERTIKAL CEMBUNG



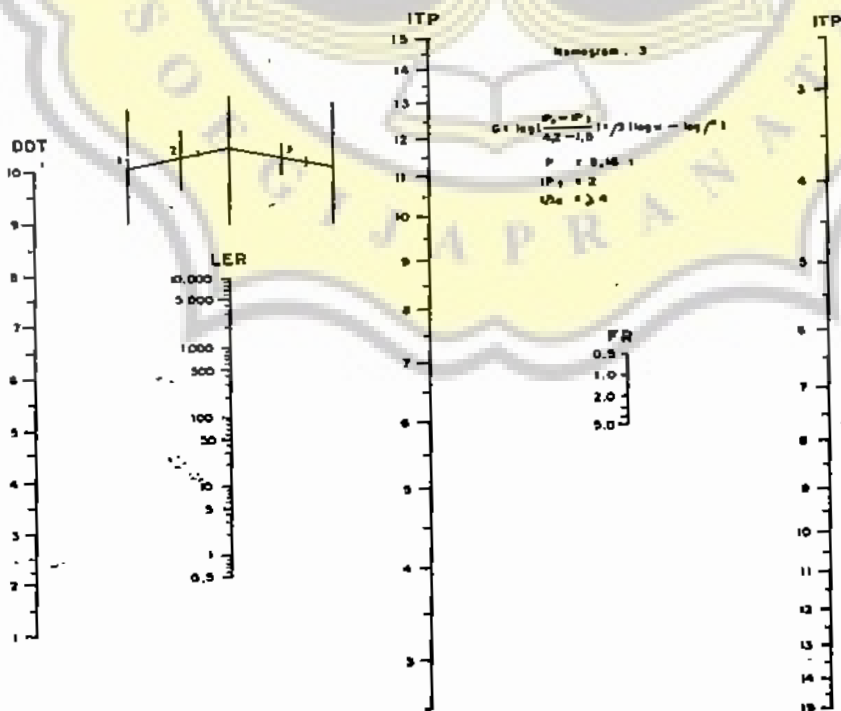
GRAFIK VI. PANJANG LENGKUNG VERTIKAL CEKUNG PADA LINTASAN DIBAWAH



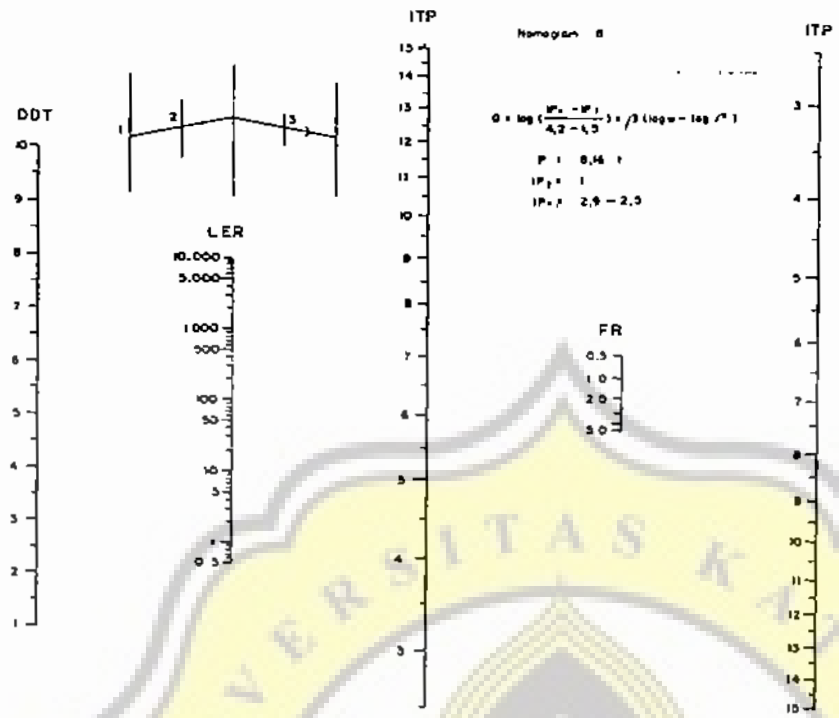
Nomogram untuk $IIP_t = 2.5$ dan $IPO = 4$ (25)
 Gambar 5.3



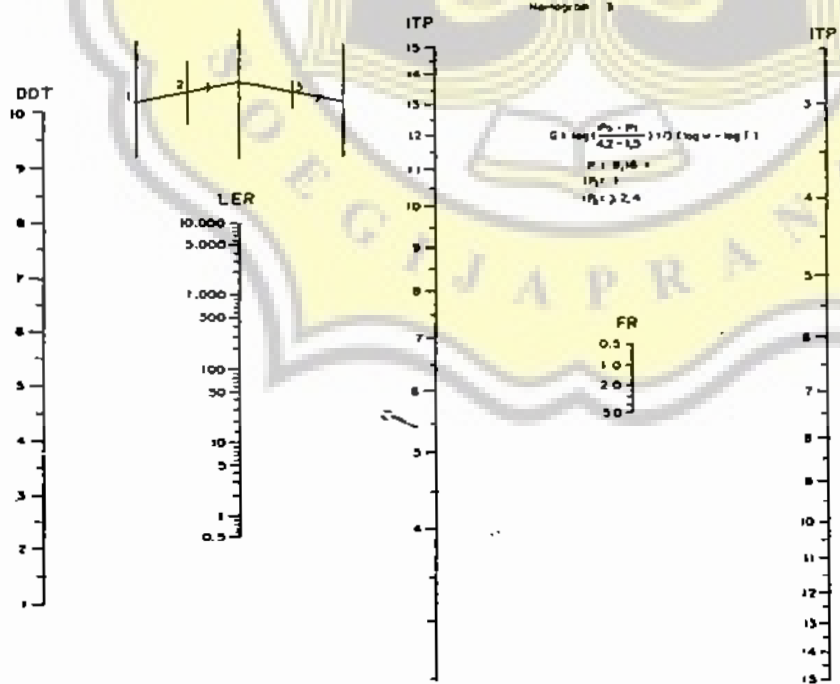
Nomogram untuk $IP_t = 2.5$ dan $IP_o = 3.9 - 3.5$ (25)
 Gambar 5.4



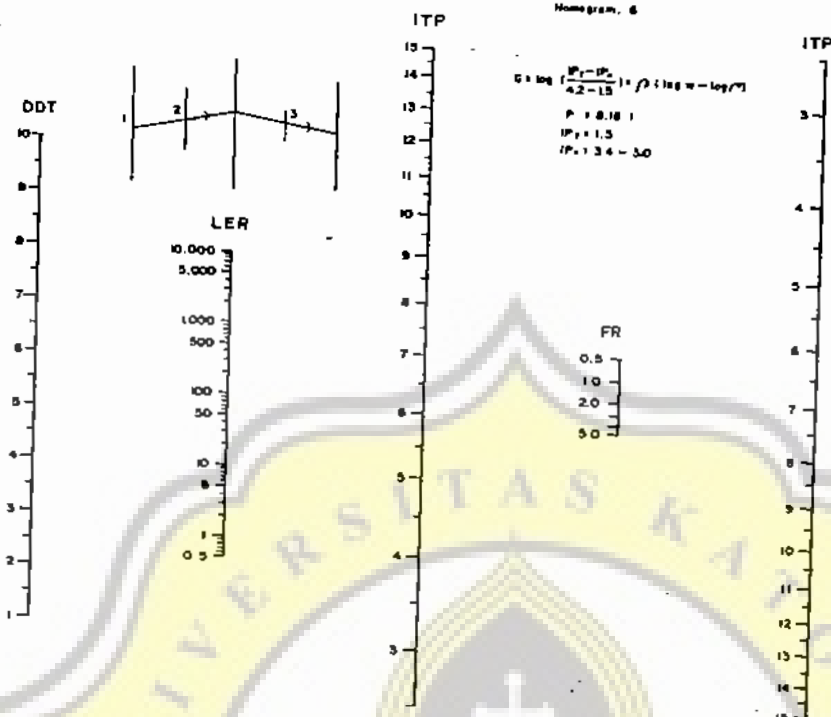
Nomogram untuk $IP_t = 2.0$ dan $IP_o = 3.4$ (25)
 Gambar 5.5



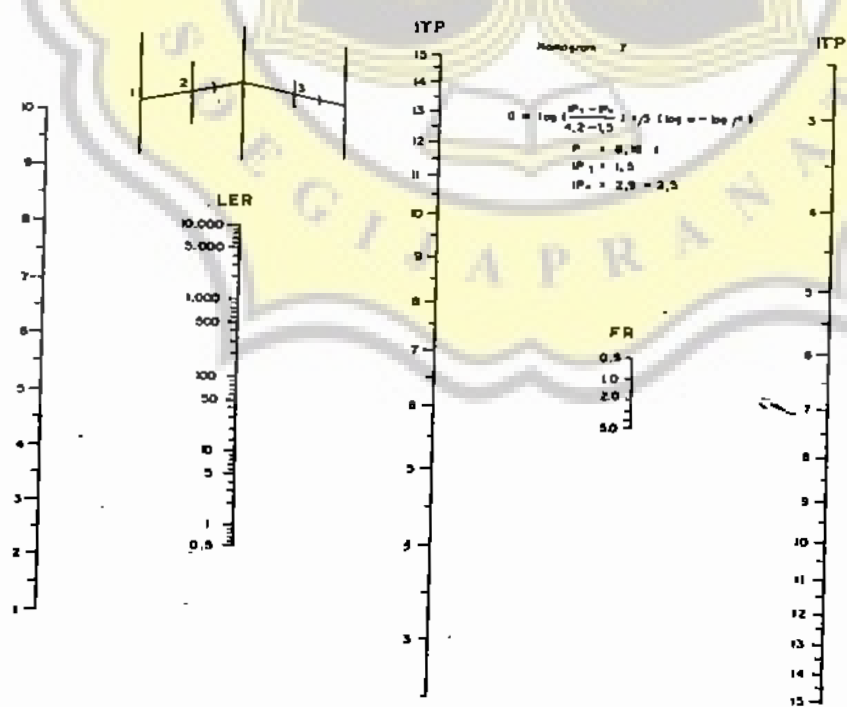
Nomogram untuk $IP_1 = 1.0$ dan $IP_0 = 2.9 - 2.5$ (25)
 Gambar 5.10



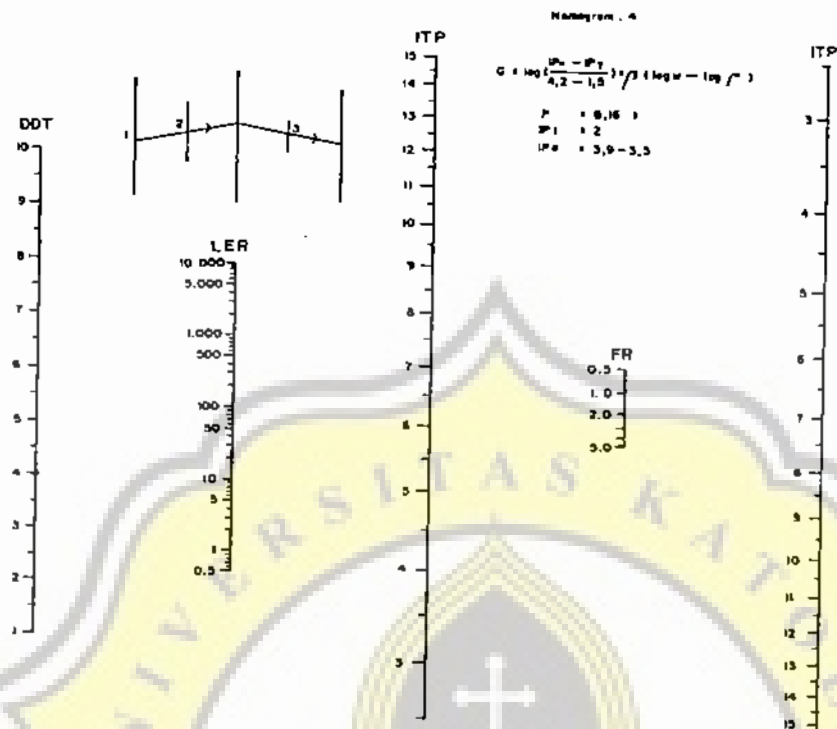
Nomogram untuk $IP_1 = 1.0$ dan $IP_0 = < 2.4$ (25)
 Gambar 5.11



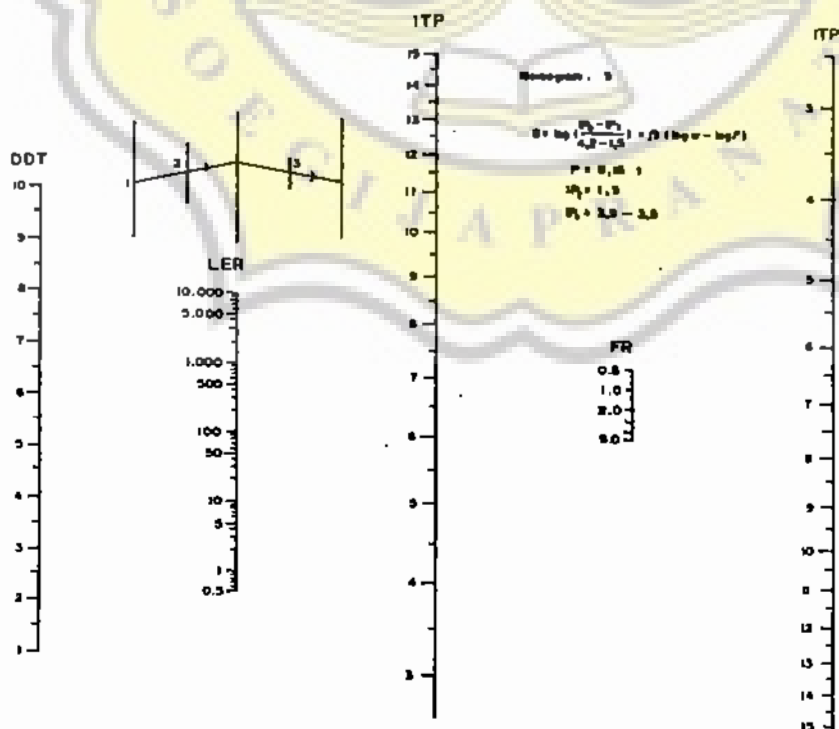
Nomogram untuk $IP_1 = 1.5$ dan $IP_2 = 3.4 - 5.0$ (25)
 Gambar 5.8



Nomogram untuk $IP_1 = 1.5$ dan $IP_2 = 2.9 - 2.5$ (25)
 Gambar 5.9

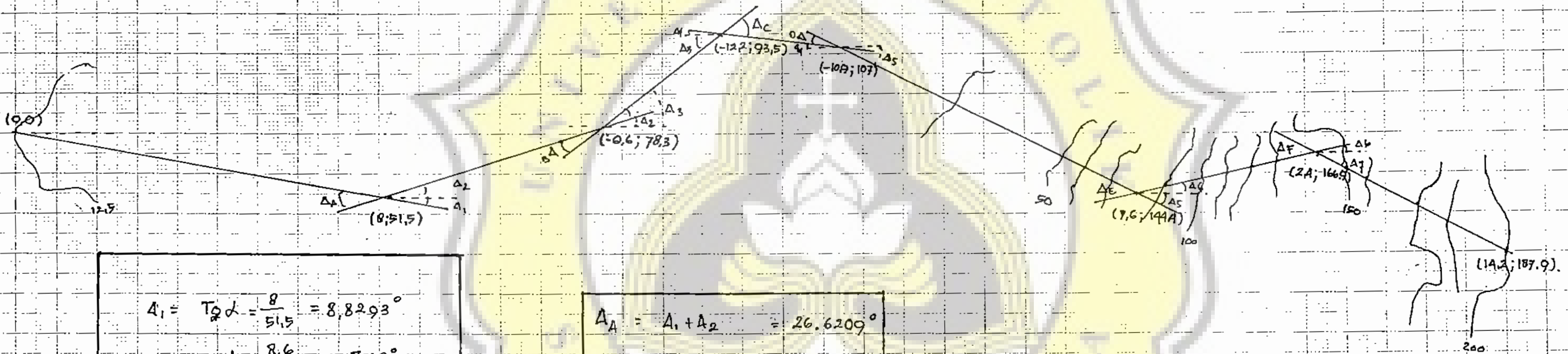


Nomogram untuk $IP_1 = 2.0$ dan $IP_2 = 3.9 - 3.5$ (25)
Gambar 5.6



Nomogram untuk $IP_1 = 1.5$ dan $IP_2 = 3.9 - 3.5$ (25)
Gambar 5.7

PENENTUAN STASIONING (Δ)



$$\begin{aligned} \Delta_1 &= \text{Tg} \alpha = \frac{8}{51,5} = 8,8293^\circ \\ \Delta_2 &= \text{Tg} \alpha = \frac{8,6}{26,8} = 17,7912^\circ \\ \Delta_3 &= \text{Tg} \alpha = \frac{11,6}{15,2} = 37,3493^\circ \\ \Delta_4 &= \text{Tg} \alpha = \frac{1,3}{13,5} = 5,5004^\circ \\ \Delta_5 &= \text{Tg} \alpha = \frac{18,5}{37,4} = 26,3194^\circ \\ \Delta_6 &= \text{Tg} \alpha = \frac{5,2}{22,5} = 13,0132^\circ \\ \Delta_7 &= \text{Tg} \alpha = \frac{11,8}{21} = 29,8318^\circ \end{aligned}$$

$$\begin{aligned} \Delta_A &= \Delta_1 + \Delta_2 = 26,6209^\circ \\ \Delta_B &= \Delta_3 - \Delta_2 = 19,5581^\circ \\ \Delta_C &= \Delta_3 + \Delta_4 = 42,8498^\circ \\ \Delta_D &= \Delta_5 - \Delta_4 = 20,8108^\circ \\ \Delta_E &= \Delta_5 + \Delta_6 = 39,3326^\circ \\ \Delta_F &= \Delta_6 + \Delta_7 = 42,845^\circ \end{aligned}$$